

بررسی ارتباط بین ژن‌های القایی عامل کروم سنسینگ وابسته به پروموموتور و مقاومت به متی سیلین در سویه‌های استافیلکوک اورئوس بالینی

ساناز ده باشی^۱ ID، حامد طهماسبی^۲، بهروز زینی^۳، دکتر محمد رضا عربستانی^۴ و

نویسنده‌ی مسئول: دکتر محمد رضا عربستانی، گروه میکروب شناسی، دانشکده‌ی پزشکی، دانشگاه علوم پزشکی همدان، همدان mohammad.arabestani@gmail.com

پذیرش: ۹۶/۲/۲۷ دیرافت: ۹۶/۶/۲۸

چکیده

زمینه و هدف: پدیده کروم سنسینگ، پروموموتورهای دخیل در این فرایند و اثر این پروموموتورها بر میزان بیان برخی از ژن‌های ساختاری مانند *PII* و *agrA*، می‌تواند دید مناسبی از فعالیت و بروز مقاومت‌های آنتی‌بیوتیکی در استافیلکوک اورئوس را بیان نماید. هدف از این مطالعه ارتباط بین ژن‌های القایی عامل کروم سنسینگ وابسته به پروموموتور و مقاومت به متی سیلین در سویه‌های استافیلکوک اورئوس بالینی می‌باشد. روش بررسی: در این مطالعه‌ی تحلیلی، ۳۱۵ ایزوله بالینی استافیلکوک اورئوس از نمونه‌های بالینی مختلف جمع‌آوری شد. سویه‌های مقاوم و حساس جهت حضور پروموموتور القایی مورد بررسی کیفی و کمی قرار گرفتند. میزان بیان ژن‌های *PII* و *agrA* با استفاده از تکنیک *Real-Time PCR* انجام شد. آنالیزهای آماری (توصیفی-تحلیلی) با استفاده از نرم افزار SPSS نسخه ۱۶ و آنالیز نتایج بیان ژن‌ها با استفاده از نرم‌افزار REST 2008 V3 صورت گرفت.

یافته‌ها: از ۱۲۵ سویه استافیلکوک اورئوس مقاوم به متی سیلین، ۱۰۰ سویه (۸۳/۳۳) دارای ژن پروموموتور *P2* و تمامی ایزوله‌ها داری ژن *agrA* و از ۱۹۰ سویه حساس به متی سیلین، ۱۴ ایزوله (۴۶/۲۱) درصد) دارای ژن *P2* و ۱۶۹ ایزوله (۷۷/۶۴ درصد) دارای ژن *agrA* بودند. همچنین ایزوله‌های مقاوم به متی سیلین در مقایسه با ایزوله‌های حساس دارای میزان بیان ژن *P2* و *AgrA* بیشتری بودند.

نتیجه‌گیری: با توجه به نتایج حاصل شده، احتمال ارتباط پدیده کروم سنسینگ و ژن‌های القایی آن با میزان مقاومت‌های دارویی، به عنوان یکی از مهم‌ترین مواردی است که باید آن را مورد توجه قرار داد.

واژگان کلیدی: کروم سنسینگ، مقاومت دارویی، استافیلکوک اورئوس، بیان ژن.

مقدمه

مثبت و گرم منفی وجود دارد، توسط پروتئین‌های خاصی کنترل می‌شود که در نهایت با رونویسی و بیان ژن‌های وابسته سبب فعال یا غیرفعال شدن می‌شود (۱). از مهم‌ترین باکتری‌های گرم مثبت دارای QS می‌توان به استافیلکوک

(QS) Quorum Sensing ارتباط سلول-سلول بین باکتری‌های مختلف است که وسیله‌ای برای تولید سیگنال خارج سلولی جهت مرتبط کردن باکتری‌های موجود در یک جماعت می‌باشد (۱). این مکانیسم که در بین باکتری‌های گرم

- ۱- دانشجوی دکترای تخصصی میکروب شناسی، گروه میکروب شناسی، دانشکده‌ی پزشکی، دانشگاه علوم پزشکی همدان، همدان
- ۲- کارشناس ارشد میکروب شناسی، گروه میکروب شناسی، دانشکده‌ی پزشکی، دانشگاه علوم پزشکی همدان، همدان
- ۳- دکترای تخصصی میکروب شناسی، دانشیار گروه میکروب شناسی، دانشکده‌ی پزشکی، دانشگاه علوم پزشکی همدان، همدان
- ۴- دکترای تخصصی میکروب شناسی، دانشیار مرکز پژوهش دانشجویان، دانشگاه علوم پزشکی همدان، همدان

می‌کند، چون این بخش از لوکوس *agr* توسط عوامل ذکر شده کنترل شده و در واقع یک بخش چند فعالیتی می‌باشد (۹).

با توجه به ارتباط تنگانگ مسیرهای وابسته به چرخه *agr* در امر تولید عوامل بیماری‌زا و رخ دادن پدیده کروم سنسینگ در باکتری استافیلکوک اورئوس، با بررسی میزان بیان *agr* پرموتورهای تنظیمی این بخش‌ها که لوکوس‌های *agr* کنترل می‌کنند، می‌توان به میزان بیان ژن‌های عامل تولید انواع توکسین‌های باکتریایی در استافیلکوک اورئوس دست یافت (۱۰). با اندازه‌گیری میزان بیان پرموتور *P2* علاوه بر اینکه تولید این عوامل بیماری‌زا را مورد بررسی و مشاهده قرار داد، می‌توان با اندازه‌گیری دقیق میزان بیان این پرموتورها، به تمایل باکتری به تولید سیگنال جهت انجام پدیده کروم سنسینگ پرداخت (۱۱). با بررسی دقیق موارد فوق در باکتری‌های مقاوم به برخی آنتی‌بیوتیک خاص که ارتباط نزدیکی با تولید عوامل بیماری‌زا دارند، توانایی ارتباط برقرار کردن بین مقاومت و بروز پدیده کروم سنسینگ از یک طرف و مقاومت و تولید عوامل بیماری‌زا از سوی دیگر را می‌توان مطرح کرد (۱۲ و ۱۳). این در حالی است که بالا رفتن قدرت بیماری‌زایی استافیلکوک اورئوس و پدیده کروم سنسینگ نیز توسط محققان بررسی و وجود ارتباط بین این عوامل به اثبات رسیده است (۱۴). حضور باکتری‌هایی مانند استافیلکوک اورئوس که می‌توانند در قسمت‌های مختلف بدن به واسطه‌ی اتصال به سطوح مختلف مانند ابزار آلات پزشکی، پوست بدن و مواردی از این دست وارد بدن انسان شوند، پیوسته باید در برابر عوامل و شرایط نامساعد مانند قرارگیری در برابر ضدغونی کننده‌ها، شوینده‌ها و حتی عدم در دسترس بودن انرژی کافی، مقاوم باشند. از این‌رو فعالیت برخی ژن‌های ساختاری خود را تغییر داده و به نحوی فعالیت خود را پیش می‌برند که بتوانند با حفظ قدرت بیماری‌زایی خود، مقاومت به آنتی‌بیوتیک را نیز افزایش دهند. با در نظر

اورئوس اشاره کرد. این باکتری که کوکسی گرم مثبت با توانایی تولید آنزیم‌های متنوع می‌باشد، دارای قدرت بیماری‌زایی بسیار زیادی است و می‌تواند در قسمت‌های مختلفی از بدن ایجاد بیماری کند (۳ و ۲۳). یکی از عواملی که تولید عوامل بیماری‌زای استافیلکوک اورئوس و آنزیم‌های مترشحه از این باکتری را تحت تاثیر قرار می‌دهد، پدیده کروم سنسینگ می‌باشد (۴). مجموعه عوامل بیماری‌زای استافیلکوک اورئوس توسط یک سیستم کروم سنسینگی به نام *agr* accessory gene regulator کنترل می‌شوند (۳). *agr* با کد کردن موتیف‌های خاصی از پیتیدهای مختلف سبب کنترل فعالیت رونویسی و تولید محصولات بیماری‌زای استافیلکوک اورئوس می‌شود (۵). این سیستم توسط دو بخش مختلف بنام‌های *RNAIII* و *RNAII* که در رونویسی محصولات این لوکوس نقش دارند، تشکیل شده است (۶). هر یک از این بخش‌ها در کنار پرموتورها، اختصاصی *P2* و *P3* کنترل مجموعه *agr* را به صورت مجزا بر عهده دارند (۵). *RNAII* با کمک گرفتن از پرموتور *P2* در چرخه *agr* کنترل قسمت‌های مختلف *agr* شامل *agrD* *agrC* *agrB* *agrA* مجموعه از لوکوس *agr* با کد کردن پیتیدهای خاصی به نام *autoinducing peptide* (API) سبب تولید سیگنال‌های خارج سلولی در *QS* می‌شود (۷). مسیر *QS* بدین گونه می‌باشد که در ابتدا سیگنال‌های محیطی که به واسطه AIP‌ها به داخل سلول باکتری هدایت شده‌اند، توسط *agrC* در سطح سلول باکتری دریافت شده و سبب تحریک شدن *agrA* می‌گردد که تحریک شدن این قسمت زمینه‌ی فعال شدن *agrD* و به دنبال آن *agrB* را فراهم می‌کند. اینجا ارسال سیگنال‌های خارج سلولی به واسطه برقراری پیوندهای دوگانه در برخی عناصر خارج سلولی، سبب ارسال پیام توسط باکتری برای ارتباط توسط پدیده کروم سنسینگ می‌شوند (۸). در این فرایند *agrA* نقش بسیار مهمی را ایفا

Disk Diffusion جهت تعیین سویه‌های مقاوم و حساس از روش Disk استفاده شد. بدین صورت که ابتدا از کلنی تازه سویه‌های مورد نظر سوسپانسیون تهیه گردید و رقت آن به کدورت نیم مک فارلند رسانده شد. سپس بر روی محیط مولر هیتوون آگار که داخل پلیت‌های ۸ سانتی‌متری با ضخامت ۴ میلی‌متر ریخته شده بود، به صورت سفره‌ای توسط سواپ استریل کشت داده شد. سویه‌های مقاوم به متی‌سیلین با استفاده از دیسک سفوکسیتین ۳۰ میکروگرمی (Mast انگلستان) تعیین شدند. در این مطالعه، از سویه‌ی استافیلیوکوک اورئوس ATCC25923 به عنوان کنترل منفی و از سویه‌ی استافیلیوکوک اورئوس ATCC43300 به عنوان کنترل مثبت استفاده شد (۱۶ و ۱۷).

برای انجام استخراج DNA ژنومیک از کیت استخراج شرکت سینا زن ایران بر اساس پروتکل شرکت سازنده انجام شد. جهت آماده سازی باکتری مورد مطالعه، در ابتدا کلنی‌های تازه کشت داده شده بر روی محیط بی رنگ مولر هیتوون آگار در میکروتیوب‌های ۱/۵ میلی لیتری حاوی سرم فیزیولوژی در خوبی حل شد و در دور ۴۵۰۰ به مدت ۱۵ دقیقه سانتریفیوژ گردید. بعد از به دست آمدن رسوب کلنی‌های تشکیل شده، با استفاده از آنزیم و بافرهای موجود در داخل کیت، ادامه کار پی گرفته شد. DNA به دست آمده در دمای ۲۰- درجه‌ی سانتی‌گراد برای انجام آزمون‌های مولکولی، ذخیره گردید (۱۸).

با استفاده از روش PCR و دستگاه ترموسایکلر اپندورف (Mastercycler 5333، آمریکا) ژن‌های *P2* و *agrA* مورد شناسایی قرار گرفتند. برای این کار، از پرایمرهای موجود در جدول ۱ استفاده گردید. برای تکثیر این ژن‌ها دمای واسرشت اولیه ۹۴ درجه‌ی سانتی‌گراد به مدت ۵ دقیقه و ۳۵ سیکل برای مراحل واسرشت ۹۴ درجه‌ی سانتی‌گراد به مدت ۱ دقیقه، اتصال ۵۹ درجه به مدت ۴۵ ثانیه و طویل‌سازی

گرفتن مواد ذکر شده، هدف از این مطالعه بررسی میزان بیان پرومتور القایی عامل کروم سنسینگ در سویه‌های بالینی حساس و مقاوم به متی‌سیلین استافیلیوکوک اورئوس بود.

روش بررسی

در این مطالعه‌ی توصیفی- تحلیلی، طی یک دوره‌ی ۹ ماهه ۳۷۵ نمونه بالینی شامل خون، ادرار، مایع مغزی-نخاعی، سواپ بینی، زخم، ترشحات، تراشه، خلط و بزاق، از بیماران بستری در بخش‌های مختلف و بیماران مراجعه کننده (به صورت سرپایی) به مرکز درمانی دانشگاه علوم پزشکی شهر همدان در بازه‌ی زمانی مرداد تا دی ماه جمع آوری شد. روش نمونه‌گیری بر اساس روش نمونه‌گیری آسان و در دسترس انتخاب شد. معیار ورود افراد برای نمونه‌گیری، بیمارانی بودند که به مدت طولانی در بیمارستان بستری و مشکوک به عفونت استافیلیوکوکی بودند و معیار خروج نیز بیماران فاقد عفونت‌های باکتریایی در نظر گرفته شد. ایزوله‌های به دست آمده بر روی محیط Merck Blood Agar (آلمان) پایه که با خون ۵ درصد تازه گوسفنده غنی شده بود، به صورت خطی کشت داده شد و به مدت ۲۴ ساعت در دمای ۳۷ درجه‌ی سانتی‌گراد انکوبه شد. پس از مشاهده کلنی‌ها، رنگ‌آمیزی گرم انجام و کوکسی‌های گرم مثبت جداسازی شدند. از تست کاتالاز برای تفرقی استافیلیوکوک‌ها از استرپتوبکوک‌ها استفاده شد. برای تشخیص استافیلیوکوک‌ها از میکروبک‌ها هم از آزمایش اکسیداسیون و احیا استفاده گردید. برای تفکیک استافیلیوکوک‌های کوگولاز لوله‌ای استافیلیوکوک‌های کوگولاز منفی از تست کوگولاز لوله‌ای استفاده شد. در نهایت ۱۲۵ ایزوله‌ی بالینی استافیلیوکوک اورئوس مقاوم به متی‌سیلین بر اساس تست‌های اولیه جداسازی شد. جهت جمع آوری اطلاعات ایزوله‌های بالینی و مشخصات آنها از فرم‌های طراحی شده استفاده گردید (۱۵).

RG-REST نسخه ۲۰۰۸ تجزیه و تحلیل شدند. از نرم افزار SPSS نسخه ۱۶ و آزمون آماری کای-دو برای مقایسه یافته‌های کیفی و تست مثبت مستقل برای مقایسه یافته‌های کمی مورد استفاده قرار گرفتند (در این مطالعه مقدار $p < 0.05$ معنی‌دار در نظر گرفته شد).

یافته‌ها

در این بررسی، پراکنش ایزوله‌های بالینی به دست آمده در نمونه‌های بالینی مختلف به صورت زیر مشاهده شد، به طوری که از میان ۳۱۵ ایزوله بالینی استافیلکوک اورئوس جدا شده از نمونه‌های بالینی، ۴۵ ایزوله (۱۴/۲۹ درصد) از زخم، ۵۲ ایزوله (۱۶/۰۵ درصد) از خون، ۱۲۱ ایزوله (۳۸/۴۱ درصد) از ادرار، ۳۹ ایزوله (۱۲/۳۸ درصد) از تراشه، ۳۶ ایزوله (۱۱/۴۲ درصد) از کاتاتر، ۱۰ ایزوله (۳/۱۷ درصد) از سوپ و ۱۲ ایزوله (۳/۸ درصد) از بیماران سرپایی جدا شده (جدول ۲).

همچنین ۱۲۵ سویه (۳۹/۶۸ درصد) مقاوم به متی‌سیلین و ۱۹۰ ایزوله (۶۰/۳۱ درصد) حساس به متی‌سیلین به دست آمد. به طوری که سویه‌های مقاوم به متی‌سیلین که توسط روش دیسک دیفیوژن مورد ارزیابی قرار گرفتند دارای قطر هاله عدم رشد کمتر از ۲۱ میلی‌متر بودند و سویه‌های حساس دارای قطر هاله عدم رشد بیشتر از ۲۱ میلی‌متر بودند. از مجموع ۳۱۶ ایزوله بالینی استافیلکوک اورئوس مورد مطالعه، ۱۲۵ ایزوله (۳۹/۶۸ درصد) دارای ژن *mecA* و ۱۹۰ ایزوله (۶۰/۳۱ درصد) از نظر حضور این ژن منفی بودند. از ۱۲۵ سویه استافیلکوک اورئوس مقاوم به متی‌سیلین، در آزمون کیفی، ۱۰۰ سویه (۸۳/۳۳ درصد) دارای ژن پرموتور *P2* و همه ایزوله‌ها دارای ژن *agrA* بودند. علاوه بر این از ۱۹۰ سویه حساس به متی‌سیلین، ۸۴ ایزوله (۴۴/۲۱ درصد) دارای ژن *P2* و ۱۶۹ ایزوله (۸۸/۹۴ درصد) دارای ژن *agrA* بودند.

اولیه به مدت ۱ دقیقه تعیین گردید. طویل‌سازی نهایی نیز ۸ دقیقه منظور شد.

جهت مطالعات کیفی ایزوله‌های بالینی که دارای مشخصات خاص از نظر پروفایل الگوی مقاومت، فراوانی همهی ژن‌های مورد مطالعه و نوع نمونه بالینی، جهت بررسی‌های کمی انتخاب شدند. به منظور تعیین میزان بیان ژن‌های مورد مطالعه (جدول ۱)، از تکنیک Real-Time PCR و معرف سایبرگرین استفاده شد. پرایم‌های رفت و برگشت هر یک با غلظت ۵ ماکرومولار و cDNA مورد به دست آمده با غلظت ۱۰۰ نانوگرم مورد استفاده قرار گرفت. جهت استخراج RNA از محلول ReboEx (Biotech، اسپانیا) و جهت سترز cDNA از کیت NG dART RT (Eurx، آمریکا) صورت گرفت. غلظت اولیه RNA بر اساس پروتکل درج شده در کیت جهت سترز ۵۰۰ نانوگرم در نظر گرفته شد. مراحل واکنش Real Time PCR به صورت ۱۰ دقیقه واسرت است اولیه در دمای ۹۵ درجهی سانتی‌گراد و ۴۰ سیکل برای واسرت ثانویه به مدت ۳۰ ثانیه در ۹۵ درجهی سانتی‌گراد و ۹۰ ثانیه اتصال پرایمر در دمای ۵۸ درجهی سانتی‌گراد با استفاده از دستگاه ABI Step OnePlus (آمریکا) صورت پذیرفت. مرحله‌ی طویل‌سازی واکنش نهایی در دمای ۷۲ درجهی سانتی‌گراد به مدت ۱۵ ثانیه تعیین شد. محاسبه‌ی بیان ژن‌ها بر اساس فرمول $\Delta\text{CT} = -\Delta\text{CT}_{\text{Efficiency}}$ و مطالعات Pfaffl method انجام پذیرفت که در این بررسی یک ژن رفرانس و یک یا چند ژن هدف وجود دارد. در باکتری استافیلکوک اورئوس به منظور لحاظ کردن شرایط یکسان از نظر CT‌های به دست آمده، از یکی از ژن‌های محافظت شده این باکتری استفاده می‌شود. در این بررسی نیز از ژن *gmk* که یکی از ژن‌های محافظت شده می‌باشد، به عنوان ژن رفرانس برای تعیین میزان بیان ژن‌های مورد مطالعه استفاده شد (۱۹). نتایج حاصل از $\Delta\Delta\text{tc}$ و Relative Quantitation با استفاده از نرم‌افزار

A2، A3، A8 و A11 دارای کاهاش بیان ژن بودند. سویه‌های حساس به متی‌سیلین با کد شناسایی A1S، A2S، A3S، A8S، A11S، A12S، A13S، A14S از نظر بیان ژن‌های *PII* و *agrA* دارای کاهاش چشم‌گیری نسبت به سایر ایزوله‌های مورد مطالعه بودند (نمودار ۱ و ۲).

با وارد کردن همه ایزوله‌های مورد مطالعه که از نظر کیفی مثبت شده بودند، مواردی که دارای CT‌های بالای ۳۵ و کمتر از ۱۰ بودند از مطالعه حذف شدند و ۱۵ ایزوله بالینی که دارای کمترین خطای جهت تعیین میزان بیان ژن‌های مورد مطالعه بودند، انتخاب شدند (نمودار ۱ و ۲). از این‌رو، ایزوله‌های مقاوم به متی‌سیلین با کد شناسایی A13، A15

جدول ۱: پرایمرهای مورد استفاده در واکنش Real Time PCR

	مبلغ	طول محصولات	توالی نوکلئوتیدی	ژن‌های مورد مطالعه
(۱۷)	۹۰		AAGCATGACCCAGTTGGTAACA ATCCATCGCTGCAACTTGTAGA	<i>agrA</i>
(۱۸)	۸۸		AAAGAACCTCTGCTAACAAAGT TGTTATTAAACCCAATCATTGCTGTT	<i>mecA</i>
(۱۹)	۱۰۳		TATGAATAATGCGCTGATGATATACCACG TTTTAAAGTTGATAGACCTAAACCACGACC	<i>P2</i>
(۱۹)	۴۸۸		ATCGTTTATCGGGACCATC TCATTAACCTACAACGTAATCGTA	<i>gmk</i>

جدول ۲: فراوانی ژن‌های مورد مطالعه در سویه‌های مقاوم استافیلوکوک اورئوس

تعداد کل ژن‌ها	تعداد در نمونه‌های بالینی مختلف							ژن مورد مطالعه
	سرپایی	کاتاتر	تراشه	بینی	زخم	ادرار	خون	
۱۲۵	۹	۱۲	۷	۵	۴۷	۳۱	۱۴	<i>agrA</i>
۱۰۰	—	۵	۹	۱۳	۴۲	۲۹	۲	<i>P2</i>
۱۲۵	۴	۱۶	۱۲	۴	۱۸	۴۰	۲۹	<i>mecA</i>

بیشتری معنی‌داری را نشان دادند و در مقابل سویه‌های مقاوم به متی‌سیلین بیان کننده افزایش معنی‌داری از نظر افزایش ژن‌های مورد مطالعه بودند (P=۰/۰۰۲). این در حالی بود که در نمونه‌هایی که ژن *P2* با افزایش میزان بیان مواجه بود، ژن *agrA* نیز با افزایش میزان بیان ثنی رو به رو بود. علاوه بر

با در نظر گرفتن مقادیر به دست آمده از بیان ژن‌های *P2* و *agrA* در سویه‌های حساس و مقاوم استافیلوکوک اورئوس نشان داده شد که بیان این دو ژن در سویه‌های حساس و مقاوم ارتباط معنی‌داری وجود دارد. به این صورت که میزان بیان ژن‌های *PII* و *agrA* در سویه‌های حساس کاهاش

به طوری که در سویه‌های حساس بیان ژن *P2* به مقدار کمتر مشاهده شد و در سویه‌های مقاوم به متی‌سیلین این میزان روند افزایشی داشت. ژن *agrA* در سویه‌های حساس و مقاوم به متی‌سیلین دارای تفاوت معنی‌داری نبود (جدول ۳ و ۴).

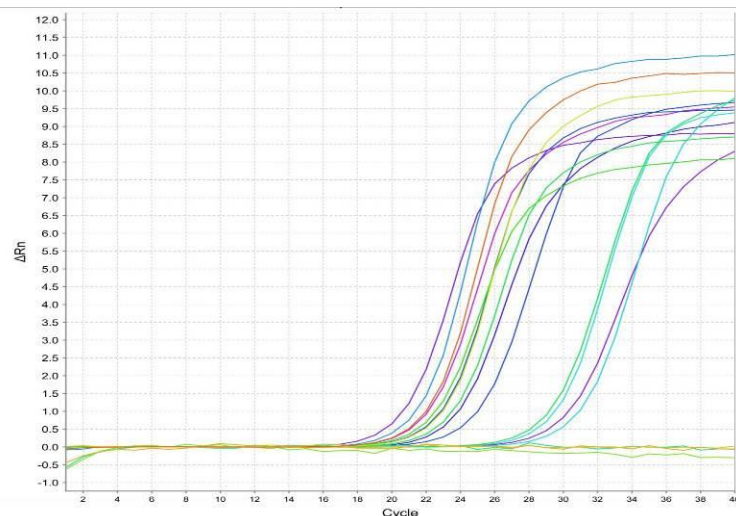
این، در ایزوله‌ای استافیلکوک اورئوس جدالشده از خون و زخم ژن *agrA* دارای بیشترین فعالیت بود و در مقابل ژن *P2* در نمونه‌های ادرار و زخم به میزان بیشتری بیان شد. در این بین، ارتباط معنی‌داری بین حضور میزان بیان ژن‌های مورد مطالعه و نوع نمونه بالینی مشاهده نشد (جدول ۳). در سویه‌های حساس و مقاوم، الگوی بیان ژن کاملاً متفاوت بود،

جدول ۳: مقادیر *CT* به دست آمده از ژن‌های *AgrA* و *P2* و *gmk* در ایزوله‌های بالینی استافیلکوک اورئوس مقاوم میزان بیان با توجه به فرمول $2^{-\Delta\Delta CT}$ در جدول لحاظ شده است

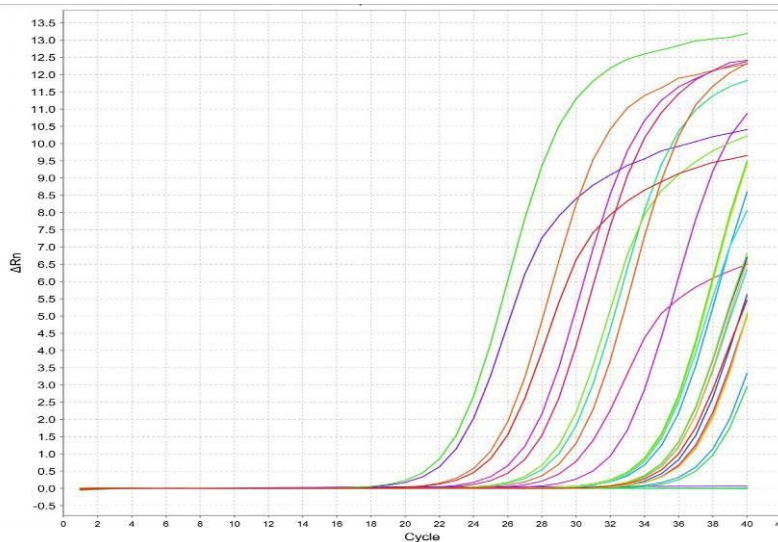
PCR efficiency	<i>agrA</i> gene	<i>P2</i> gene	reference gene	$2^{-\Delta\Delta CT}$	
	۱۸۰۱۰	۱/۱۴۴۰	۱/۰۹۰۰		
Ct values	Ct <i>agrA</i>	Ct <i>P2</i>	Ct <i>gmk</i>	fold induction <i>agrA</i>	fold induction <i>P2</i>
Control	۱۸/۱۹	۲۵/۸۹	۲۵/۰۴	۱	۱
A1	۱۲/۳۸	۱۷/۶۵	۳۴/۰۹	۴/۲۱۳۷۲۸۱۹۴	۱/۱۳۹۷۷۵۷۳۳
A2	۱۲/۶	۲۹/۹۴	۳۰/۸۷	۳/۱۱۴۰۴۷۴۷۸	۰/۹۱۰۴۰۸۹۵۴
A3	۱۲/۷۳	۱۵/۰۶	۲۲/۴۹	۱/۴۹۰۳۶۵۶۵۶	۰/۹۶۹۱۱۹۷۴۴
A4	۱۲/۶۱	۲۲/۱۶	۲۹/۰۷	۲/۶۶۳۵۷۷۵۹۶	۱/۶۳۲۲۳۱۸۰۳۵
A5	۱۲/۰۵	۲۸/۱۲	۳۴/۰۹	۴/۱۲۳۳۲۲۴۰۴۲	۲/۰۰۲۸۹۰۱۷۱
A6	۱۳/۰۶	۳۱/۲۲	۳۰/۹۸	۲/۹۸۴۰۲۰۸۵۵	۱/۳۶۰۶۶۹۱۲۲
A7	۱۲/۹۱	۲۱/۴۲	۳۰/۷۸	۲/۹۸۳۳۱۶۰۰۴	۱/۹۴۵۸۰۶۲۵۸
A8	۱۲/۴۹	۲۰/۹	۲۱/۷۸	۱/۴۴۰۵۶۳۲۹۸	۰/۹۱۳۹۰۵۳۰۷
A9	۱۲/۹۶	۲۶/۹۲	۲۹/۰۱	۲/۰۴۶۷۹۱۸۷۳	۱/۳۵۳۵۳۴۰۴۲
A10	۱۲/۷۳	۲۲/۱۴	۲۸/۰۴	۲/۴۰۴۴۱۷۵۹۶	۱/۴۹۴۸۱۶۲۰۵
A11	۱۲/۹۱	۲۵/۱۳	۱۹/۱۶	۱/۱۰۵۴۶۷۵۵۷	۰/۹۲۵۶۰۸۵۲۵
A12	۱۶/۲۲	۱۹/۴۴	۲۳/۵۸	۱/۱۰۲۳۴۳۱۷۵	۱/۱۲۸۵۶۷۶۴۴
A13	۱۲/۷۸	۳۱/۷۲	۲۱/۹۹	۱/۴۱۹۴۴۵۳۷۴	۰/۹۱۵۱۴۹۳۰۷
A14	۱۵/۰۱	۲۵/۱۲	۲۷/۱۳	۱/۷۴۶۷۰۶۷۲۵	۱/۲۵۴۵۸۶۶۲۱
A15	۱۲/۵۱	۲۰/۰۹	۲۴/۹۷	۰/۳۳۷۶۰۴۷۵۵	۰/۲۲۱۴۲۱۷۹۲

جدول ۴: مقادیر CT به دست آمده از ژن‌های $agrA$ و $P2$ و gmk در ایزووله‌های بالینی استافیلوکوک اورئوس حساس میزان بیان با توجه به فرمول $2^{-\Delta\Delta CT}$ در جدول لحاظ شده است.

PCR efficiency	<i>agrA</i> gene	<i>P2</i> gene	reference gene	$2^{-\Delta\Delta CT}$	
	1/۳۰۱۰	1/۱۴۴۰	1/۰۹۰۰		
Ct values	Ct <i>agrA</i>	Ct <i>P2</i>	Ct <i>gmk</i>	fold induction <i>agrA</i>	fold induction <i>P2</i>
Control	۱۸/۱۹	۲۵/۸۹	۲۵/۰۴	۱	۱
A1S	۱۹/۴۴	۲۲/۱	۳۴/۰۹	۱/۸۹۳۱۵۹۸۱۸	۹۶۱۳۴۷۰۹۸
A2S	۱۸/۱۲	۳۱/۱۳	۳۰/۸۷	۱/۶۶۵۰۸۷۲۴۴۵	۰/۵۸۳۲۴۱۴۶۷
A3S	۲۰/۳۳	۱۹	۲۲/۴۹	۰/۶۲۹۸۴۸۱۰۵۵	۰/۸۴۹۶۱۰۶۷
A4S	۱۹/۷۲	۲۶/۱۵	۲۹/۰۷	۱/۱۸۹۹۴۰۴۰۷	۱/۴۰۱۲۲۷۷۹۸
A5S	۱۷/۶۱	۲۵/۷۷	۳۴/۰۹	۲/۳۲۹۴۶۰۵۳۷۵	۲/۱۹۱۳۰۹۲۵
A6S	۲۱/۱۲	۳۰/۹۳	۳۰/۹۸	۱۹۷۰۲۸۷۷۸	۱/۳۷۵۸۴۹۸۴۱
A7S	۲۰/۲	۲۵/۴۹	۳۰/۷۸	۱/۳۰۵۸۶۹۷۸۳	۱/۶۶۵۰۲۳۰۳۴۸
A8S	۱۹/۷۷	۲۴/۱۹	۲۱/۷۸	۰/۶۳۱۲۸۴۰۲۱	۰/۸۰۵۸۱۶۲۹۹
A9S	۱۸/۶۹	۲۸/۷۲	۲۹/۰۱	۱/۳۳۰۳۷۵۰۳۸	۱/۲۶۳۴۵۹۱۲۸
A10S	۱۹/۴۷	۲۸/۱۱	۲۸/۰۴	۱/۱۲۰۱۶۰۹۴	۱/۱۸۹۵۷۸۱۴۹
A11S	۱۵/۷۸	۲۶/۴۹	۱۹/۲۶	۰/۷۹۸۵۲۸۲۳۴	۰/۰۹۳۸۸۹۳۱۷
A12S	۲۱/۱۶	۲۳/۱۷	۲۳/۰۸	۰/۶۲۹۷۶۶۸۳۵	۰/۹۷۸۴۷۹۲۱
A13S	۲۰/۷۵	۳۰/۹	۲۱/۹۹	۰/۵۷۵۲۴۲۶۰۴	۰/۶۳۴۷۵۳۷۶۹
A14S	۱۶/۴۴	۲۶/۰۶	۲۷/۳۳	۱/۴۸۰۳۸۲۲۱۶	۱/۲۱۰۲۶۹۳۵۶
A15S	۱۸/۸۸	۲۲/۰۵	۲۴/۹۷	۰/۱۶۴۰۱۷۳۳۵	۰/۲۰۵۴۲۵۲۸۱



نمودار ۱: نمودار تکثیر موقتی آمیز ژن‌های *PII* و *agrA* در ایزووله‌های بالینی استافیلوکوک اورئوس مقاوم به متی‌سیلین



نمودار ۲: نمودار تکثیر موقتی آمیز ژن‌های *PII* و *agrA* در ایزولهای بالینی استافیلکوک اورئوس حساس به متی‌سیلین

افزایش بیان ژن‌های وابسته به تولید توکسین می‌شود. اثر این ژن و پرموتور همراه آن بر تولید برخی از توکسین‌ها نیز می‌تواند سبب تغییر در ترشح این توکسین‌ها شود. یکی از این توکسین‌های مهم توکسین ۱ سندرم شوک توکسیک می‌باشد که به طور مستقیم و غیرمستقیم از ژن *PII* اثر می‌پذیرند. البته این امر همیشگی نیست و می‌تواند تحت شرایطی تغییر وضعیت دهد. در یک مطالعه مروری که وانگ و همکاران در سال ۲۰۱۶ در آمریکا داشتند، مشخص شد که حضور و فعالیت پرموتور *P2* و به دنبال آن *RNAII* می‌تواند سبب افزایش فعالیت‌های وابسته به کروم سنسینگ شود. فعالیت‌هایی که سبب تشکیل بیوفیلم و در برخی موارد تشکیل لایه‌ی لعابی می‌شود را می‌تواند تحت اثر قرار دهد. همچنین در این مطالعه بیان شد که حضور این ژن به عنوان یک عامل تحیریک‌کننده در بیان *agrA* مطرح می‌باشد. در نتایج حاصل از این پژوهش که در نمونه‌های دارای ژن‌های *agr* صورت گرفته بود، مشاهده شد که سویه‌های دارای بیان *RNAII* به صورت کیفی حامل همه‌ی ژن‌های تنظیمی *agr* بودند، که از این نظر این موارد با نتایج به دست آمده توسط وانگ و همکاران همسو است (۲۰).

بحث

نتایج به دست آمده در این مطالعه نشان داد که میزان بیان ژن‌های *PII* و *agrA* می‌تواند با توجه به حساسیت یا مقاومت باکتری مورد مطالعه متفاوت باشد. این در حالی بود که بیان ژن *PII* در سویه‌های حساس کمتر و در سویه‌های مقاوم مقادیر بیشتری را به خود اختصاص داد. همچنین، سویه‌های استافیلکوک اورئوس مقاوم به متی‌سیلین از نظر فعالیت ژن *agrA* دارای فعالیت بیشتری بودند. در صورتی که از نظر اهمیت *RNAII* و پرموتور فعل کننده آن یعنی *PII*، ذکر این نکات الزامی است. *RNAII* با کمک گرفتن از پرموتور *P2* در چرخه *agr* کتلرل قسمت‌های مختلف لوکوس *agr* شامل *agrD agrC agrB agrA* بر عهده دارد (۶). در این مجموعه از لوکوس *agr* بخش با *autoinducing peptide* کد کردن پپتیدهای خاصی بنام (API) سبب تولید سیگنال‌های خارج سلولی در QS می‌شود (V). نتایج حاصل از مطالعه‌ی حاضر نشان داد که نمونه‌های *A2*, *A3*, *A8*, *A11*, *A13* و *A15* دارای کاهش فعالیت ژن *PII* بوده و سایر نمونه‌های با افزایش بیان ژن همراه بودند. کاهش بیان ژن *RNAII* به صورت غیرمستقیم سبب

وابسته به آن در میزان بیان برخی ژن‌های تنظیمی می‌باشد. فعالیت ژن‌های تنظیم‌کننده در سویه‌های مختلف ممکن است متفاوت باشد. در مطالعاتی که رادرفورد و همکاران در سال ۲۰۱۲ در کشور آمریکا به عمل آوردن، نشان دادند که حضور برخی ژن‌های فعال‌کننده و تنظیم‌کننده در همه‌ی سویه‌های استافیلوکوک به یک ترتیب نظاممند انجام می‌گیرد (۲۴). به این صورت که برای تشکیل کروم سنسینگ در باکتری استافیلوکوک اورئوس باید *P2* و *agrA* به طور مستقیم وارد عمل شوند. یکی از نتایجی که در این مطالعه به دست آمد ارتباط این دو ژن در مقیاس بیان با یکدیگر بود، به نحوی که فعالیت این دو ژن در سویه‌های مقاوم به متی‌سیلین بیشتر از سویه‌های حساس به متی‌سیلین بود. این نتایج به نتایجی که در مطالعات ویدما و همکاران در سال ۲۰۱۴ در اسپانیا صورت گرفت، مشخص شد که بین حضور و فعالیت لوكوس ژنی *agr* و مقاومت آنتی‌بیوتیکی ارتباط مستقیم وجود دارد و این احتمال می‌رود که قدرت مقاومت باکتری با توجه به میزان فعالیت ژن‌های وابسته به *agr* خصوصاً ژن‌های تنظیمی مانند *agrA* نقش تعیین‌کننده‌ای در این بین داشته باشد (۲۵). در اطلاعات به دست آمده از نتایج ما، این امر نشان داده شد که حضور و فعالیت ژن‌های دخیل در تنظیم کروم سنسینگ، می‌تواند با میزان مقاومت به متی‌سیلین ارتباط داشته باشد، به‌طوری که فعالیت این ژن‌ها در سویه‌های مقاوم سیر افزایشی را نشان داد و در سویه‌های حساس نسبت به سویه‌های مقاوم، سیر کاهشی داشت. در بررسی‌های انجام شده توسط مک‌کارتی و همکاران در سال ۲۰۱۵ در کشور ایرلند، نشان دادند که فعالیت عوامل بیماری‌زاibi که تحت کترول پرموتور *P2* هستند و به نوعی در بیماری‌زاibi نقش کلیدی دارند، فعالیت آن در سویه‌های مقاوم به متی‌سیلین بیشتر می‌باشد (۲۶). چیونگ و همکاران در سال ۲۰۱۱ در کشور آمریکا نشان دادند که می‌تواند ارتباطی بین حضور و فعالیت ژن‌های تنظیمی لوكوس *agr* مانند *agrA* و بروز مقاومت دارویی در

ارتباط پرموتورهای *PII* و *PIII* در کنار لوكوس‌های ژنی *agr* پیوسته از اهمیت ویژه‌ای برخوردار بودند. ژن *RNAIII* که توسط سیستم وابسته به *agr* مهار می‌شود، سبب القای و تقویت تولید همولیزین و توکسین‌های استافیلوکوکی می‌شود (۲۱). در مطالعه‌ای مروری که لی و همکاران در سال ۲۰۱۶ بر روی مسیرهای تنظیمی *RNAII* و *RNAIII* مشخص شد که حضور ژن *RNAII* در کنار ژن *RNAIII* برخی مواردی که با فعالیت افزایشی همراه باشد سبب سرکوب ۱۰۰ ادرصدی برخی ژن‌های دخیل در تنظیم عوامل بیماری‌زاibi باکتری می‌شود. در این بین دو مسیر متفاوت رقم می‌خورد که یک مسیر وابسته به *agr* و یک مسیر مستقل از *agr* می‌باشد. در مسیرهای وابسته به *agr* که نقش ژن *RNAIII* هنوز در هاله‌ای از ابهام می‌باشد، به طور احتمالی می‌تواند سبب فعل شدن لوكوس ژنی *agr* به خصوص *agrC* شود (۲۲). در این صورت میزان فعالیت کروم سنسینگ باکتری افزایش می‌یابد. اما بعد از بالا رفتن میزان حضور باکتری‌های دیگر و تضمین شدن بقای باکتری، باکتری وارد مسیر مستقل از *agr* شده و در مسیری قرار می‌گیرد که تولید توکسین‌ها و همولیزین‌های خود را به شدت افزایش می‌دهد. این امر بیشتر در ایزوله‌های دیده می‌شود که از نمونه‌های خون و زخم به دست آمده‌اند. در یکی از شاخص‌ترین نمونه‌های مورد مطالعه (A7) که میزان بیان ژن‌های وابسته به مسیرهای وابسته و غیروابسته به *PII* دارای ارتباطی پیچیده می‌باشد، عفونت خونی در میان بوده است که این سویه باعث آن شده است. جدا شدن این سویه از نمونه‌ی خون، موید این مطلب می‌باشد که سویه‌های به دست آمده از خون فعالیتی چند برابری و الگوی به مراتب پیچیده‌تری را می‌توانند داشته باشند (۲۳).

از این رو، نتایج این مطالعه نیز تاییدکننده‌ی نقش مهم نوع نمونه‌ی بالینی در کنار مقاومت آنتی‌بیوتیکی

دهد. حضور و فعالیت ژن‌های PII و ژن‌های وابسته به لوکوس agr که در این مطالعه مورد بررسی قرار گرفت، علاوه بر داشتن سهم عمده در بیماری‌زایی، در برخی شرایط خاص می‌توانند بر حسب نوع مقاومت آنتی بیوتیکی نیز دچار تغییر شوند. به طوری که با بررسی سویه‌های حساس به آنتی بیوتیک خصوصاً سویه‌های استافیلکوک حساس به متی‌سیلین می‌توان وجود یک مسیر منطقی برای حضور مقاومت آنتی بیوتیکی و پدیده QS را بررسی کرد. مطالعه‌ی حاضر به دلیل محدودیت‌های زمانی و حجم نمونه و همچنین عدم بررسی گسترده‌ی همه ژن‌های دخیل در واکنش‌های آبشاری روشن و یا خاموش شدن برخی ژن‌های ساختاری، اشاره‌ای گذرا به اثر برخی ژن‌های ساختاری داشت. از این به دلیل اهمیت این موضوع و نوبودن پرداخت به ژن‌های ساختاری و تنظیم‌کننده در استافیلکوک اورئوس، پیشنهاد می‌شود که مطالعات تکمیلی بیشتری در این بخش صورت گیرد.

تشکر و قدردانی

این مقاله حاصل طرح دانشجویی در سال ۱۳۹۵ با کد اخلاقی IR.UMSHA.REC.1395.325 که با حمایت مالی معاونت پژوهشی دانشگاه علوم پزشکی همدان به انجام رسیده است. نویسنده‌ان مراتب تشکر و قدردانی خود را از این معاونت محترم ابراز می‌دارد.

استافیلکوک اورئوس باشد (۲۷). علاوه بر هم‌خوانی نتایج ذکر شده با نتایج به دست آمده در مطالعه‌ی حاضر، سویه‌های حساس و سویه‌های مقاوم به متی‌سیلین دارای تظاهرات متفاوتی با توجه به نوع نمونه‌های بالینی بودند. در مورد ژن P2 افزایش بیان در نمونه‌های کشت ادرار و کشت زخم، دارای افزایش بیشتری بود. توجیه چنین مسئله‌ای را می‌توان به فعالیت باکتری‌های عامل عفونت‌های خارجی پوستی دانست که برای داشتن بالاترین و قوی‌ترین حضور و مقاومت در برابر عوامل محیطی و افزایش میزان حجم باکتری، کروم سنسینگ به میزان بیشتری مشاهده شد. برخی مطالعات صورت گرفته نیز وجود چنین ارتباطی را محتمل دانسته اند (۱۴). همچنین در نمونه‌های ادراری که دفع باکتری از طریق جریان ادراری ممکن است. این امر نشان دهنده‌ی یک سیر منطقی در بین سویه‌های مقاوم استافیلکوک اورئوس می‌باشد که تفاوت آن را می‌توان در بافت‌های هدف مختلف دید. از نتایج به دست آمده می‌توان این امر را محتمل دانست که حضور و فعالیت ژن‌های پیش‌ساز عوامل بیماری‌زا از جمله کروم سنسینگ، در بافت‌های متفاوت مشاهده کرد.

نتیجه گیری

نقش و فعالیت کلیدی برخی ژن‌های دخیل در بیماری‌زایی باکتری استافیلکوک اورئوس می‌تواند شرایط زندگی و بیماری‌زایی باکتری را به طور کامل تحت اثر قرار

References

- 1- Vermote A, Brackman G, Risseeuw MD, et al. Hamamelitannin analogues that modulate quorum sensing as potentiators of antibiotics against *Staphylococcus aureus*. *Angewandte Chemie*. 2016; 55: 6551-5.

- 2- Zarei Koosha R, Mahmoodzadeh Hosseini H, Mehdizadeh Aghdam E, Ghorbani Tajandareh S, Imani Fooladi AA. Distribution of tsst-1 and meca genes in *Staphylococcus aureus* isolated from clinical specimens. *Jundishapur J Microbiol*. 2016; 9: 29-57.

- 3- Sharifi A, Mohammadzadeh A, Mahmoodi P, Sasanian N. Inhibitory effect of thymus daenensis essential oil on staphylococcus aureus nora efflux pump. *J Zanjan Univ Med Sci.* 2016; 24: 67-77.
- 4- Khan BA, Yeh AJ, Cheung GY, Otto M. Investigational therapies targeting quorum-sensing for the treatment of *Staphylococcus aureus* infections. *Expert Opin Investig Drugs.* 2015; 24: 689-704.
- 5- Elmore BO, Triplett KD, Hall PR. Apolipoprotein B48, the structural component of chylomicrons, is sufficient to antagonize *staphylococcus aureus* quorum-sensing. *PloS one.* 2015; 10: 125-27.
- 6- Srivastava SK, Rajasree K, Fasim A, Arakere G, Gopal B. Influence of the AgrC-AgrA complex on the response time of *Staphylococcus aureus* quorum sensing. *J Bacteriol.* 2014; 196: 2876-88.
- 7- Painter KL, Krishna A, Wigneshweraraj S, Edwards AM. What role does the quorum-sensing accessory gene regulator system play during *Staphylococcus aureus* bacteremia? *Trends Microbiol.* 2014; 22: 676-85.
- 8- Yarwood JM, Bartels DJ, Volper EM, Greenberg EP. Quorum sensing in *Staphylococcus aureus* biofilms. *J Bacteriol.* 2004; 186: 1838-50.
- 9- Geisinger E, George EA, Chen J, Muir TW, Novick RP. Identification of ligand specificity determinants in AgrC, the *Staphylococcus aureus* quorum-sensing receptor. *J Biol Chem.* 2008; 283: 8930-8.
- 10- Rudkin JK, Edwards AM, Bowden MG, et al. Methicillin resistance reduces the virulence of healthcare-associated methicillin-resistant *Staphylococcus aureus* by interfering with the agr quorum sensing system. *J Infect Dis.* 2012; 205: 798-806.
- 11- Melamed Yerushalmi S, Buck ME, Lynn DM, Lemcoff NG, Meijler MM. Multivalent alteration of quorum sensing in *Staphylococcus aureus*. *Chem Commun (Camb).* 2013; 49: 5177-9.
- 12- O'Rourke JP, Daly SM, Triplett KD, Peabody D, Chackerian B, Hall PR. Development of a mimotope vaccine targeting the *Staphylococcus aureus* quorum sensing pathway. *PloS one.* 2014; 9: 1111-98.
- 13- Rassouli G, Alebouyeh M, Amini B, Rassouli A, Zali M. Contamination status of food handlers, utensils and foodstuffs with methicillin-resistant *Staphylococcus aureus* strains in a hospital kitchen. *J Zanjan Univ Med Sci.* 2015; 23: 24-35.
- 14- Atwood DN, Beenken KE, Loughran AJ, et al. XerC contributes to diverse forms of *staphylococcus aureus* infection via agr-dependent and agr-independent pathways. *Infect Immun.* 2016; 84: 1214-25.
- 15- Bokaeian M, Adabi J, Zeyni B, Tahmasebi H. The presence of aac (6') Ie / aph (2''), aph (3') - IIIa1, ant (4') - Ia1 genes and determining methicillin resistance in *Staphylococcus Epidermidis* and *Staphylococcus Saprophyticus* strains isolated from clinical specimens. *Arak Univ Med Sci.* 2017; 19: 11-25.
- 16- CLSI. M100-S25 performance standards for antimicrobial susceptibility testing; Twenty-fifth informational supplement; 2015.

- 17- Arabestani MR, Rastiyan S, Mousavi SF, Ghafel S, Alikhani MY. Identification of toxic shock syndrom and exfoliative toxin genes of *Staphylococcus aureus* in carrier persons, resistant and susceptible methicillin. *Tehran Univ Med Sci J.* 2015; 73: 554-60.
- 18- Bokaeian M, Tahmasebi H. Molecular identification of responsible resistance to aminoglycosides genes in clinical samples of *Staphylococcus aureus*. *J Babol Univ Med Sci.* 2017; 19: 100-119.
- 19- Pfaffl WM. A new mathematical model for relative quantification in real-time RT-PCR. *Nucleic Acids Res.* 2001; 29: 45-55.
- 20- Wang B, Muir TW. Regulation of virulence in *Staphylococcus aureus*: molecular mechanisms and remaining puzzles. *Cell Chem Biol.* 2016; 23: 214-224.
- 21- Paulander W, Nissen Varming A, Baek KT, Haaber J, Frees D, Ingmer H. Antibiotic-mediated selection of quorum-sensing-negative *Staphylococcus aureus*. *mBio.* 2013; 3: e00459-12.
- 22- Le KY, Otto M. Quorum-sensing regulation in staphylococci—an overview. *Frontiers Microbiol.* 2015; 6: 160-175.
- 23- Brionesky D, Wu Z, Marzi S, et al. *Staphylococcus aureus* RNAIII and its regulon link quorum sensing, stress responses, metabolic adaptation, and regulation of virulence gene expression. *Annu Rev Microbiol.* 2016; 70: 299-316.
- 24- Rutherford ST, Bassler BL. Bacterial quorum sensing: its role in virulence and possibilities for its control. *Cold Spring Harb Perspect Med.* 2012; 2: 124-27.
- 25- Viedma E, Sanz F, Orellana MA, et al. Relationship between agr dysfunction and reduced vancomycin susceptibility in methicillin-susceptible *Staphylococcus aureus* causing bacteraemia. *J Antimicrob Chemother.* 2014; 69: 51-8.
- 26- McCarthy H, Rudkin JK, Black NS, Gallagher L, O'Neill E, O'Gara JP. Methicillin resistance and the biofilm phenotype in *Staphylococcus aureus*. *Frontiers Cell Infect Microbiol.* 2015; 5: 350-66.
- 27- Cheung GYC, Wang R, Khan BA, Sturdevant DE, Otto M. Role of the accessory gene regulator agr in community-associated methicillin-resistant *Staphylococcus aureus* pathogenesis. *Infect Immun.* 2011; 79: 1927-35.

The Relationship between Promoter-Dependent Quorum Sensing Induced Genes and Methicillin Resistance in Clinical Strains of *Staphylococcus aureus*

Dehbashi S¹, Tahmasebi H¹, Zeyni B¹, Arabestani MR^{1,2}

¹Dept. of Microbiology, Faculty of Medicine, Hamadan University of Medical Sciences, Hamadan, Iran

²Sutent Research Center, Hamadan University of Medical Sciences, Hamadan, Iran

Corresponding Author: Arabestani MR, Dept. of Microbiology, Faculty of Medicine, Hamadan University of Medical Sciences, Hamadan, Iran

E-mail: mohammad.arabestani@gmail.com

Received: 17 May 2017 **Accepted:** 19 Sep 2017

Background and Objective: Quorum sensing (QS) phenomenon, promoters involved in this pathway and the effect of these promoters on the expression of some structural genes, such as *agrA* and *PII*, could reveal the proper activity and gene expression of antibiotic resistance in *S. aureus*. The aim of this study was defining the relationship between promoter-dependent Quorum Sensing induced genes and methicillin resistance in clinical strains of *S. aureus*.

Materials and Methods: In this analytical study, 315 isolates of *S. aureus* were collected. Resistant and susceptible strains were evaluated for the presence of promoter-dependent quorum sensing induced genes qualitatively and quantitatively. Calculating the gene expression of *agrA* and *PII* was carried out by Real-Time PCR. Statistical analysis (descriptive and analytical) was done using SPSS version 16 software and the data analysis of gene expression was carried out by REST 2008 V3.

Results: Among 125 strains of *S. aureus* resistant to methicillin, 100 isolates (83/33%) had the promoter *P2* gene and all isolates had the *agrA* gene and of 190 strains susceptible to methicillin, 84 isolates (44/21%) had the *P2* gene and 169 isolated (88/94%) had the *agrA* gene. *P2* and *AgrA* gene expression was greater in the resistant isolates in comparison to susceptible isolates.

Conclusion: In accordance with the results of this study, the association between quorum sensing /gene induction and drug resistance is a matter of importance.

Keywords: *Quorum sensing, Drug resistance, Staphylococcus aureus, Gene expression*